Eingabe: Farbmetrisches Reflexions-System MRS18a

für Buntton *h* = lab*h = 31/360 = 0.086*
*lab*tch* und *lab*nch*

D65: Buntton R
LCH*Ma: 50 78 31
rgb*Ma: 1.0 0.0 0.0

Dreiecks-Helligkeit *t**

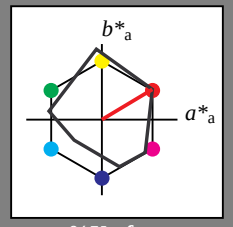

%Umfang

u*$_{rel}$ = 92

%Regularität

g*$_{H,rel}$ = 42

g*$_{C,rel}$ = 49

MRS18a; adaptierte CIELAB-Daten

	L*=L*$_a$	a*$_a$	b*$_a$	C*$_{ab,a}$	h*$_{ab,a}$
R$_{Ma}$	49.63	66.8	40.02	77.87	31
J$_{Ma}$	90.7	−7.27	93.19	93.48	94
G$_{Ma}$	52.11	−69.93	11.26	70.85	171
G50B$_{Ma}$	45.03	−36.65	−27.13	45.61	217
B$_{Ma}$	36.65	23.26	−62.27	66.49	290
B50R$_{Ma}$	34.94	57.27	−43.6	71.99	323
N$_{Ma}$	18.01	0.0	0.0	0.0	0
W$_{Ma}$	95.41	0.0	0.0	0.0	0
R$_{CIE}$	39.92	58.67	27.97	64.99	25
J$_{CIE}$	81.26	−2.91	71.56	71.62	92
G$_{CIE}$	52.23	−42.47	13.58	44.6	162
B$_{CIE}$	30.57	1.33	−46.48	46.51	272

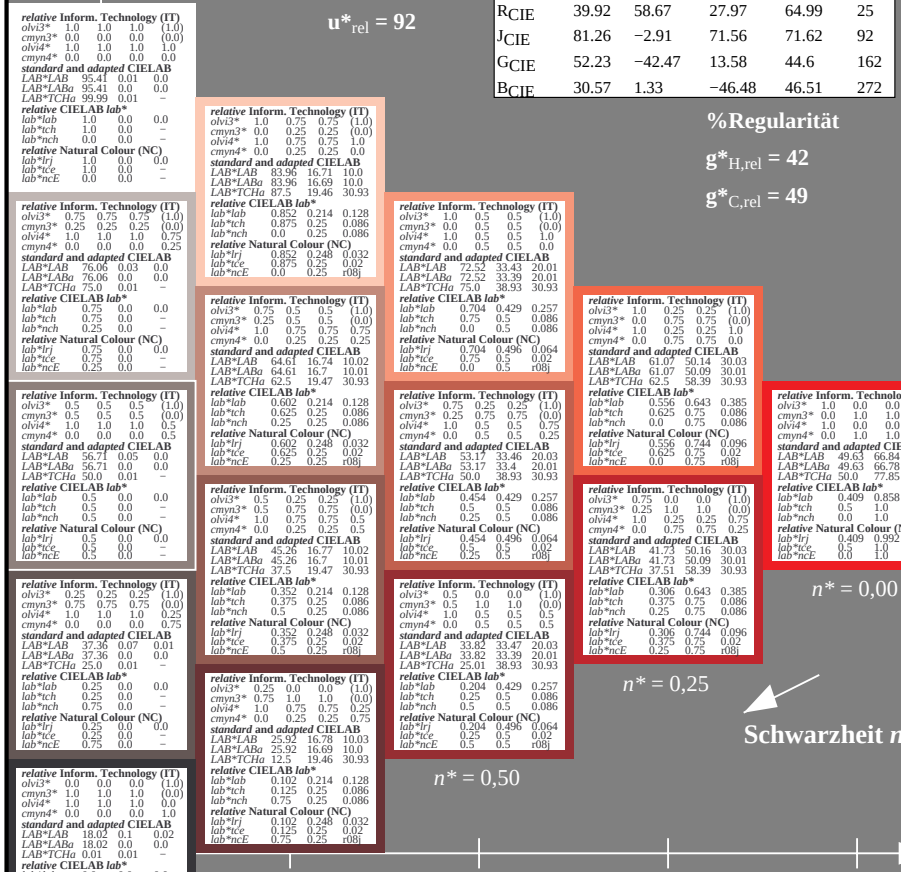

Ausgabe: Farbmetrisches Reflexions-System ORS18

für Buntton *h* = lab*h = 38/360 = 0.105*
*lab*tch* und *lab*nch*

D65: Buntton O
LCH*Ma: 48 83 38
rgb*Ma: 1.0 0.0 0.0

Dreiecks-Helligkeit *t**

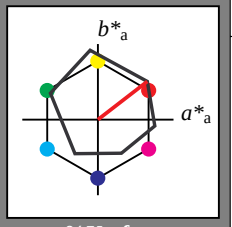

%Umfang

u*$_{rel}$ = 93

%Regularität

g*$_{H,rel}$ = 57

g*$_{C,rel}$ = 59

ORS18; adaptierte CIELAB-Daten

	L*=L*$_a$	a*$_a$	b*$_a$	C*$_{ab,a}$	h*$_{ab,a}$
O$_{Ma}$	47.94	65.37	50.52	82.62	38
Y$_{Ma}$	90.37	−10.27	91.77	92.34	96
L$_{Ma}$	50.9	−62.79	34.95	71.87	151
C$_{Ma}$	58.62	−30.35	−45.01	54.3	236
V$_{Ma}$	25.71	31.11	−44.42	54.24	305
M$_{Ma}$	48.13	75.27	−8.35	75.73	354
N$_{Ma}$	18.01	0.0	0.0	0.0	0
W$_{Ma}$	95.41	0.0	0.0	0.0	0
R$_{CIE}$	39.92	58.66	26.98	64.56	25
J$_{CIE}$	81.26	−2.17	67.76	67.79	92
G$_{CIE}$	52.23	−42.26	11.75	43.87	164
B$_{CIE}$	30.57	1.15	−46.84	46.87	271

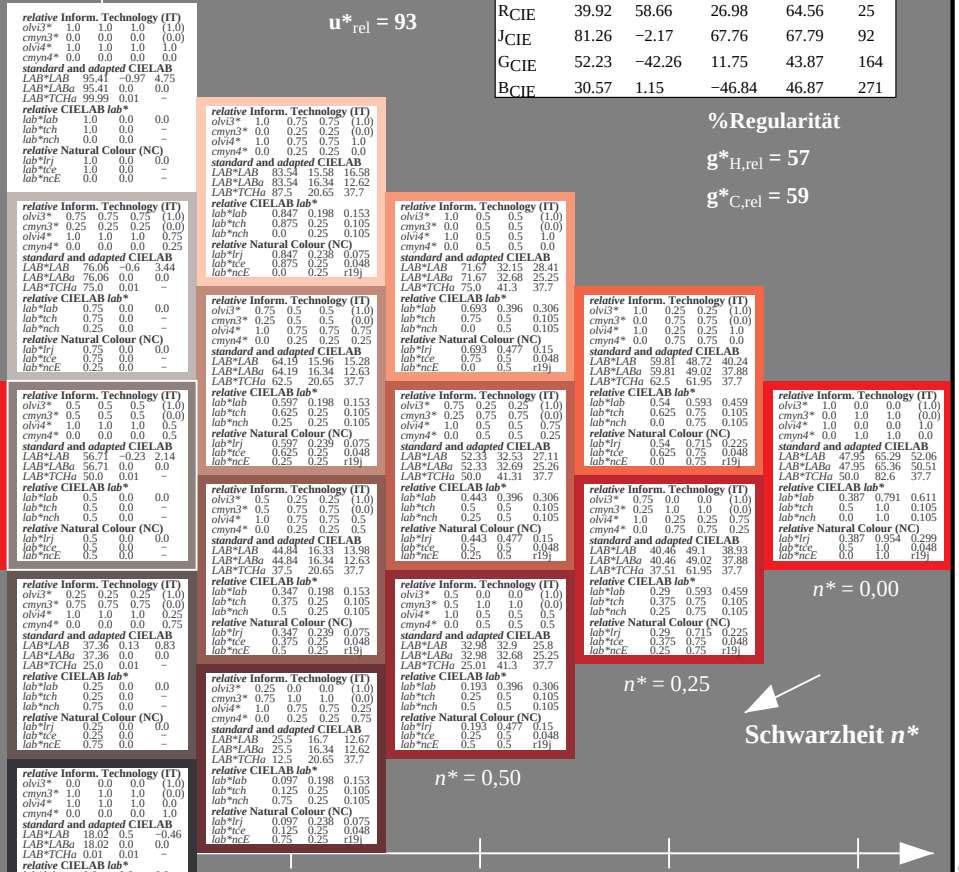

UG560−7, 5 stufige Reihen für konstanten CIELAB Buntton 31/360 = 0.086 (links)

5 stufige Reihen für konstanten CIELAB Buntton 38/360 = 0.105 (rechts)

Eingabe: Farbmetrisches Reflexions-System MRS18a

für Buntton *h* = lab*h = 94/360 = 0.262*
*lab*tch* und *lab*nch*

D65: Buntton J
LCH*Ma: 91 93 94
rgb*Ma: 1.0 1.0 0.0

Dreiecks-Helligkeit *t**

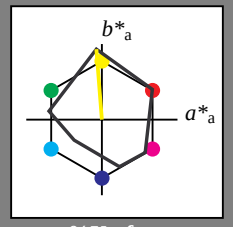

%Umfang

u*rel = 92

MRS18a; adaptierte CIELAB-Daten

	L*=L*a	a*a	b*a	C*ab,a	h*ab,a
RMa	49.63	66.8	40.02	77.87	31
JMa	90.7	−7.27	93.19	93.48	94
GMa	52.11	−69.93	11.26	70.85	171
G50BMa	45.03	−36.65	−27.13	45.61	217
BMa	36.65	23.26	−62.27	66.49	290
B50RMa	34.94	57.27	−43.6	71.99	323
NMa	18.01	0.0	0.0	0.0	0
WMa	95.41	0.0	0.0	0.0	0
RCIE	39.92	58.67	27.97	64.99	25
JCIE	81.26	−2.91	71.56	71.62	92
GCIE	52.23	−42.47	13.58	44.6	162
BCIE	30.57	1.33	−46.48	46.51	272

%Regularität

g*H,rel = 42

g*C,rel = 49

Ausgabe: Farbmetrisches Reflexions-System ORS18

für Buntton *h* = lab*h = 96/360 = 0.268*
*lab*tch* und *lab*nch*

D65: Buntton Y
LCH*Ma: 90 92 96
rgb*Ma: 1.0 1.0 0.0

Dreiecks-Helligkeit *t**

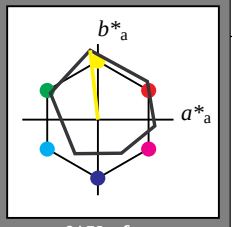

%Umfang

u*rel = 93

ORS18; adaptierte CIELAB-Daten

	L*=L*a	a*a	b*a	C*ab,a	h*ab,a
OMa	47.94	65.37	50.52	82.62	38
YMa	90.37	−10.27	91.77	92.34	96
LMa	50.9	−62.79	34.95	71.87	151
CMa	58.62	−30.35	−45.01	54.3	236
VMa	25.71	31.11	−44.42	54.24	305
MMa	48.13	75.27	−8.35	75.73	354
NMa	18.01	0.0	0.0	0.0	0
WMa	95.41	0.0	0.0	0.0	0
RCIE	39.92	58.66	26.98	64.56	25
JCIE	81.26	−2.17	67.76	67.79	92
GCIE	52.23	−42.26	11.75	43.87	164
BCIE	30.57	1.15	−46.84	46.87	271

%Regularität

g*H,rel = 57

g*C,rel = 59

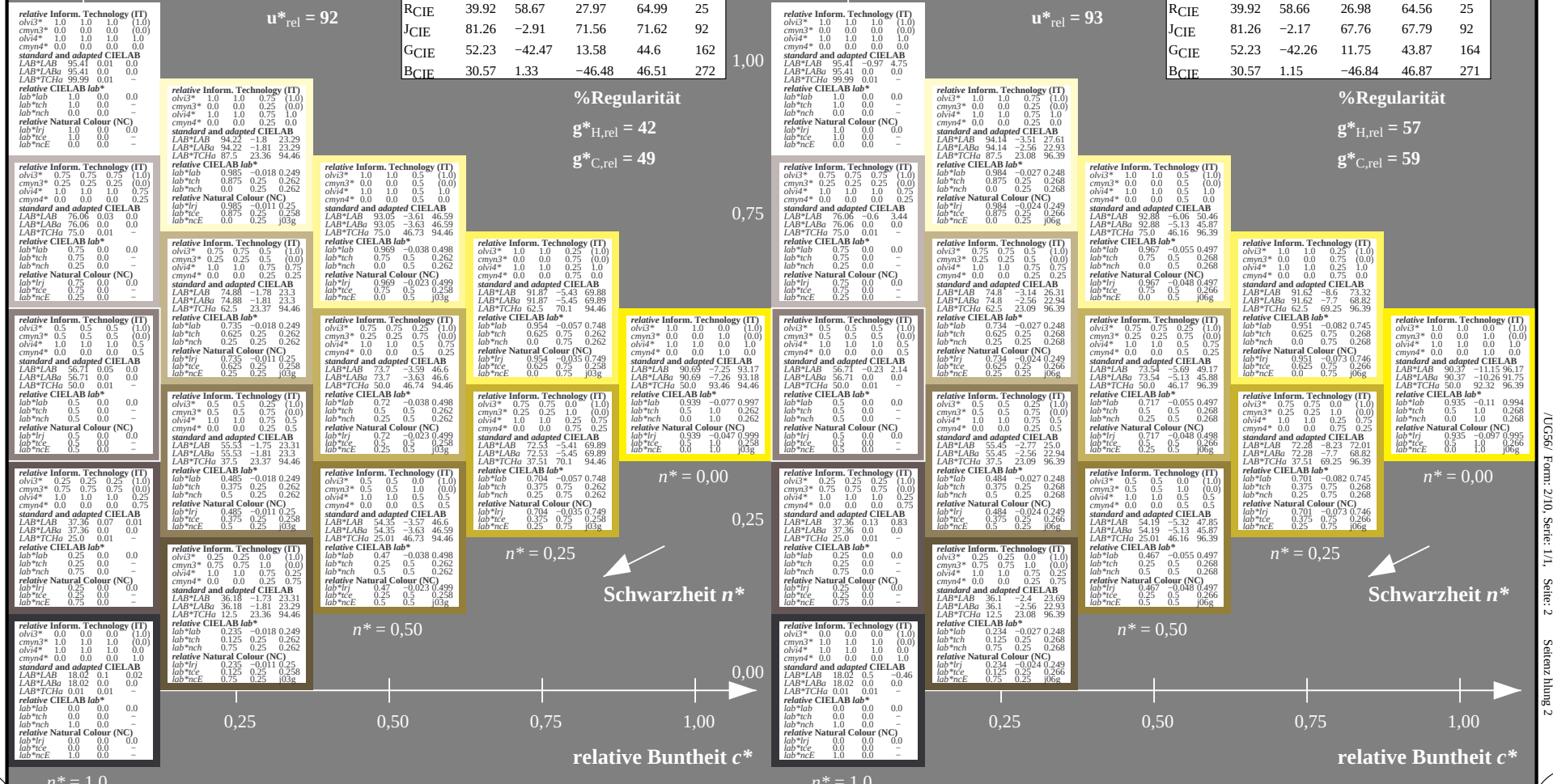

UG560−7, 5 stufige Reihen für konstanten CIELAB Buntton 94/360 = 0.262 (links)

5 stufige Reihen für konstanten CIELAB Buntton 96/360 = 0.268 (rechts)

www.ps.bam.de/UG56/10L/L56G02SP.PS/.PDF;
S: Ausgabe-Linearisierung (OL-Daten) UG56/10L/L56G02SP.DAT im Distiller Startup (S) Directory

Siehe ähnliche Dateien: http://www.ps.bam.de/UG56/
Technische Information: http://www.ps.bam.de Version 2.1, io=0,0?

BAM-Registrierung: 20060101-UG56/10L/L56G02SP.PS/.PDF BAM-Material: Code=rha4ta
Anwendung für Beurteilung und Messung von Drucker– oder Monitorsystemen
/UG56/ Form: 3/10, Serie: 1/1, Seite: 3 Sättenz hlung 3

Eingabe: Farbmetrisches Reflexions-System MRS18a

für Buntton *h* = lab*h = 171/360 = 0.475*
*lab*tch* und *lab*nch*

D65: Buntton G
LCH*Ma: 52 71 171
rgb*Ma: 0.0 1.0 0.0

Dreiecks-Helligkeit *t**

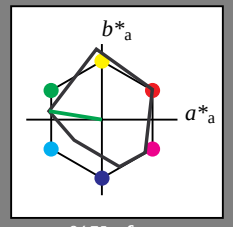

%Umfang

u*rel = 92

MRS18a; adaptierte CIELAB-Daten

	L*=L*a	a*a	b*a	C*ab,a	h*ab,a
RMa	49.63	66.8	40.02	77.87	31
JMa	90.7	−7.27	93.19	93.48	94
GMa	52.11	−69.93	11.26	70.85	171
G50BMa	45.03	−36.65	−27.13	45.61	217
BMa	36.65	23.26	−62.27	66.49	290
B50RMa	34.94	57.27	−43.6	71.99	323
NMa	18.01	0.0	0.0	0.0	0
WMa	95.41	0.0	0.0	0.0	0
RCIE	39.92	58.67	27.97	64.99	25
JCIE	81.26	−2.91	71.56	71.62	92
GCIE	52.23	−42.47	13.58	44.6	162
BCIE	30.57	1.33	−46.48	46.51	272

1,00

%Regularität

g*H,rel = 42

g*C,rel = 49

0,75

0,25

0,00

n* = 1,0 | n* = 0,50 | n* = 0,25 | n* = 0,00

Schwarzheit *n**

0,25 | 0,50 | 0,75 | 1,00

relative Buntheit *c**

Ausgabe: Farbmetrisches Reflexions-System ORS18

für Buntton *h* = lab*h = 151/360 = 0.419*
*lab*tch* und *lab*nch*

D65: Buntton L
LCH*Ma: 51 72 151
rgb*Ma: 0.0 1.0 0.0

Dreiecks-Helligkeit *t**

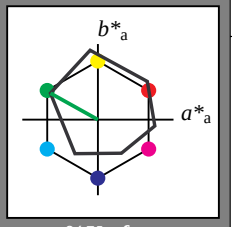

%Umfang

u*rel = 93

ORS18; adaptierte CIELAB-Daten

	L*=L*a	a*a	b*a	C*ab,a	h*ab,a
OMa	47.94	65.37	50.52	82.62	38
YMa	90.37	−10.27	91.77	92.34	96
LMa	50.9	−62.79	34.95	71.87	151
CMa	58.62	−30.35	−45.01	54.3	236
VMa	25.71	31.11	−44.42	54.24	305
MMa	48.13	75.27	−8.35	75.73	354
NMa	18.01	0.0	0.0	0.0	0
WMa	95.41	0.0	0.0	0.0	0
RCIE	39.92	58.66	26.98	64.56	25
JCIE	81.26	−2.17	67.76	67.79	92
GCIE	52.23	−42.26	11.75	43.87	164
BCIE	30.57	1.15	−46.84	46.87	271

%Regularität

g*H,rel = 57

g*C,rel = 59

n* = 1,0 | n* = 0,50 | n* = 0,25 | n* = 0,00

Schwarzheit *n**

0,25 | 0,50 | 0,75 | 1,00

relative Buntheit *c**

UG560−7, 5 stufige Reihen für konstanten CIELAB Buntton 171/360 = 0.475 (links)

5 stufige Reihen für konstanten CIELAB Buntton 151/360 = 0.419 (rechts)

BAM-Prüfvorlage UG56; Farbmetrik-Systeme ORS18 & ORS18 input: *cmy0* setcmykcolor*
D65: 2 Koordinaten-Daten von 5stufigen Farbreihen für 10 Buntt**öne** output: *Startup (S) data dependend*

Eingabe: Farbmetrisches Reflexions-System MRS18a

für Buntton *h* = lab*h = 217/360 = 0.601*
*lab*tch* und *lab*nch*

D65: Buntton G50B
LCH*Ma: 45 46 217
rgb*Ma: 0.0 1.0 1.0

Dreiecks-Helligkeit *t**

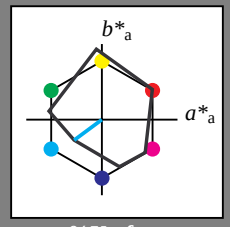

%Umfang

u*$_{rel}$ = 92

MRS18a; adaptierte CIELAB-Daten

	L*=L*$_a$	a*$_a$	b*$_a$	C*$_{ab,a}$	h*$_{ab,a}$
R_{Ma}	49.63	66.8	40.02	77.87	31
J_{Ma}	90.7	−7.27	93.19	93.48	94
G_{Ma}	52.11	−69.93	11.26	70.85	171
$G50B_{Ma}$	45.03	−36.65	−27.13	45.61	217
B_{Ma}	36.65	23.26	−62.27	66.49	290
$B50R_{Ma}$	34.94	57.27	−43.6	71.99	323
N_{Ma}	18.01	0.0	0.0	0.0	0
W_{Ma}	95.41	0.0	0.0	0.0	0
R_{CIE}	39.92	58.67	27.97	64.99	25
J_{CIE}	81.26	−2.91	71.56	71.62	92
G_{CIE}	52.23	−42.47	13.58	44.6	162
B_{CIE}	30.57	1.33	−46.48	46.51	272

%Regularität

g*$_{H,rel}$ = 42

g*$_{C,rel}$ = 49

Ausgabe: Farbmetrisches Reflexions-System ORS18

für Buntton *h* = lab*h = 236/360 = 0.656*
*lab*tch* und *lab*nch*

D65: Buntton C
LCH*Ma: 59 54 236
rgb*Ma: 0.0 1.0 1.0

Dreiecks-Helligkeit *t**

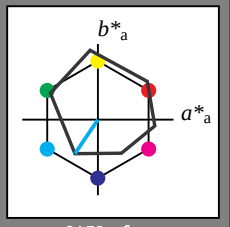

%Umfang

u*$_{rel}$ = 93

ORS18; adaptierte CIELAB-Daten

	L*=L*$_a$	a*$_a$	b*$_a$	C*$_{ab,a}$	h*$_{ab,a}$
O_{Ma}	47.94	65.37	50.52	82.62	38
Y_{Ma}	90.37	−10.27	91.77	92.34	96
L_{Ma}	50.9	−62.79	34.95	71.87	151
C_{Ma}	58.62	−30.35	−45.01	54.3	236
V_{Ma}	25.71	31.11	−44.42	54.24	305
M_{Ma}	48.13	75.27	−8.35	75.73	354
N_{Ma}	18.01	0.0	0.0	0.0	0
W_{Ma}	95.41	0.0	0.0	0.0	0
R_{CIE}	39.92	58.66	26.98	64.56	25
J_{CIE}	81.26	−2.17	67.76	67.79	92
G_{CIE}	52.23	−42.26	11.75	43.87	164
B_{CIE}	30.57	1.15	−46.84	46.87	271

%Regularität

g*$_{H,rel}$ = 57

g*$_{C,rel}$ = 59

1,00
0,75
0,25
0,00
n* = 0,00
n* = 0,25
n* = 0,50
n* = 1,0
Schwarzheit *n**
0,25
0,50
0,75
1,00
relative Buntheit *c**

UG560−7, 5 stufige Reihen für konstanten CIELAB Buntton 217/360 = 0.601 (links)

5 stufige Reihen für konstanten CIELAB Buntton 236/360 = 0.656 (rechts)

BAM-Prüfvorlage UG56; Farbmetrik-Systeme ORS18 & ORS18
D65: 2 Koordinaten-Daten von 5stufigen Farbreihen für 10 Buntt**o**ne

input: *cmy0* setcmykcolor*
output: *Startup (S) data dependend*

Eingabe: Farbmetrisches Reflexions-System MRS18a

für Buntton *h* = lab*h = 290/360 = 0.807*
*lab*tch* und *lab*nch*

D65: Buntton B
LCH*Ma: 37 66 290
rgb*Ma: 0.0 0.0 1.0

Dreiecks-Helligkeit *t**

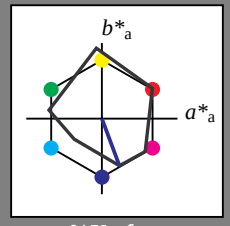

%Umfang

u*$_{rel}$ = 92

MRS18a; adaptierte CIELAB-Daten

	L=L*a*	*a*a*	*b*a*	*C*ab,a*	*h*ab,a*
R_{Ma}	49.63	66.8	40.02	77.87	31
J_{Ma}	90.7	−7.27	93.19	93.48	94
G_{Ma}	52.11	−69.93	11.26	70.85	171
$G50B_{Ma}$	45.03	−36.65	−27.13	45.61	217
B_{Ma}	36.65	23.26	−62.27	66.49	290
$B50R_{Ma}$	34.94	57.27	−43.6	71.99	323
N_{Ma}	18.01	0.0	0.0	0.0	0
W_{Ma}	95.41	0.0	0.0	0.0	0
R_{CIE}	39.92	58.67	27.97	64.99	25
J_{CIE}	81.26	−2.91	71.56	71.62	92
G_{CIE}	52.23	−42.47	13.58	44.6	162
B_{CIE}	30.57	1.33	−46.48	46.51	272

1,00

%Regularität

g*$_{H,rel}$ = 42

g*$_{C,rel}$ = 49

0,75

0,50

0,25

0,00

n* = 0,00

n* = 0,25

n* = 0,50

n* = 1,0

Schwarzheit *n**

0,25 0,50 0,75 1,00

relative Buntheit *c**

Ausgabe: Farbmetrisches Reflexions-System ORS18

für Buntton *h* = lab*h = 305/360 = 0.847*
*lab*tch* und *lab*nch*

D65: Buntton V
LCH*Ma: 26 54 305
rgb*Ma: 0.0 0.0 1.0

Dreiecks-Helligkeit *t**

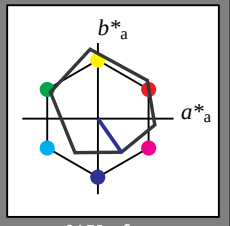

%Umfang

u*$_{rel}$ = 93

ORS18; adaptierte CIELAB-Daten

	L=L*a*	*a*a*	*b*a*	*C*ab,a*	*h*ab,a*
O_{Ma}	47.94	65.37	50.52	82.62	38
Y_{Ma}	90.37	−10.27	91.77	92.34	96
L_{Ma}	50.9	−62.79	34.95	71.87	151
C_{Ma}	58.62	−30.35	−45.01	54.3	236
V_{Ma}	25.71	31.11	−44.42	54.24	305
M_{Ma}	48.13	75.27	−8.35	75.73	354
N_{Ma}	18.01	0.0	0.0	0.0	0
W_{Ma}	95.41	0.0	0.0	0.0	0
R_{CIE}	39.92	58.66	26.98	64.56	25
J_{CIE}	81.26	−2.17	67.76	67.79	92
G_{CIE}	52.23	−42.26	11.75	43.87	164
B_{CIE}	30.57	1.15	−46.84	46.87	271

%Regularität

g*$_{H,rel}$ = 57

g*$_{C,rel}$ = 59

n* = 0,00

n* = 0,25

n* = 0,50

n* = 1,0

Schwarzheit *n**

relative Buntheit *c**

UG560−7, 5 stufige Reihen für konstanten CIELAB Buntton 290/360 = 0.807 (links)

5 stufige Reihen für konstanten CIELAB Buntton 305/360 = 0.847 (rechts)

BAM-Prüfvorlage UG56; Farbmetrik-Systeme ORS18 & ORS18 D65: 2 Koordinaten-Daten von 5stufigen Farbreihen für 10 Buntton

input: *cmy0* setcmykcolor*
output: *Startup (S) data dependend*

Eingabe: Farbmetrisches Reflexions-System MRS18a

für Buntton *h* = lab*h = 323/360 = 0.896*
*lab*tch* und *lab*nch*

D65: Buntton B50R
LCH*Ma: 35 72 323
rgb*Ma: 1.0 0.0 1.0

Dreiecks-Helligkeit *t**

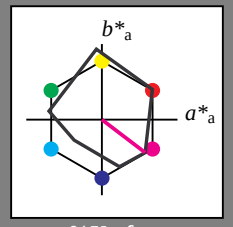

%Umfang

u*$_{rel}$ = 92

%Regularität

g*$_{H,rel}$ = 42

g*$_{C,rel}$ = 49

MRS18a; adaptierte CIELAB-Daten

	L*=L*$_a$	a*$_a$	b*$_a$	C*$_{ab,a}$	h*$_{ab,a}$
R$_{Ma}$	49.63	66.8	40.02	77.87	31
J$_{Ma}$	90.7	−7.27	93.19	93.48	94
G$_{Ma}$	52.11	−69.93	11.26	70.85	171
G50B$_{Ma}$	45.03	−36.65	−27.13	45.61	217
B$_{Ma}$	36.65	23.26	−62.27	66.49	290
B50R$_{Ma}$	34.94	57.27	−43.6	71.99	323
N$_{Ma}$	18.01	0.0	0.0	0.0	0
W$_{Ma}$	95.41	0.0	0.0	0.0	0
R$_{CIE}$	39.92	58.67	27.97	64.99	25
J$_{CIE}$	81.26	−2.91	71.56	71.62	92
G$_{CIE}$	52.23	−42.47	13.58	44.6	162
B$_{CIE}$	30.57	1.33	−46.48	46.51	272

Ausgabe: Farbmetrisches Reflexions-System ORS18

für Buntton *h* = lab*h = 354/360 = 0.982*
*lab*tch* und *lab*nch*

D65: Buntton M
LCH*Ma: 48 76 354
rgb*Ma: 1.0 0.0 1.0

Dreiecks-Helligkeit *t**

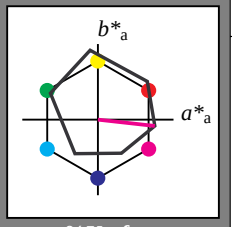

%Umfang

u*$_{rel}$ = 93

%Regularität

g*$_{H,rel}$ = 57

g*$_{C,rel}$ = 59

ORS18; adaptierte CIELAB-Daten

	L*=L*$_a$	a*$_a$	b*$_a$	C*$_{ab,a}$	h*$_{ab,a}$
O$_{Ma}$	47.94	65.37	50.52	82.62	38
Y$_{Ma}$	90.37	−10.27	91.77	92.34	96
L$_{Ma}$	50.9	−62.79	34.95	71.87	151
C$_{Ma}$	58.62	−30.35	−45.01	54.3	236
V$_{Ma}$	25.71	31.11	−44.42	54.24	305
M$_{Ma}$	48.13	75.27	−8.35	75.73	354
N$_{Ma}$	18.01	0.0	0.0	0.0	0
W$_{Ma}$	95.41	0.0	0.0	0.0	0
R$_{CIE}$	39.92	58.66	26.98	64.56	25
J$_{CIE}$	81.26	−2.17	67.76	67.79	92
G$_{CIE}$	52.23	−42.26	11.75	43.87	164
B$_{CIE}$	30.57	1.15	−46.84	46.87	271

1,00
0,75
0,50
0,25
0,00

Schwarzheit *n**

*n** = 1,0
*n** = 0,50
*n** = 0,25
*n** = 0,00

0,25 0,50 0,75 1,00

relative Buntheit *c**

UG560−7, 5 stufige Reihen für konstanten CIELAB Buntton 323/360 = 0.896 (links)

5 stufige Reihen für konstanten CIELAB Buntton 354/360 = 0.982 (rechts)

BAM-Prüfvorlage UG56; Farbmetrik-Systeme ORS18 & ORS18 input: *cmy0* setcmykcolor*
D65: 2 Koordinaten-Daten von 5stufigen Farbreihen für 10 Buntt**ö**ne output: *Startup (S) data dependend*

Eingabe: Farbmetrisches Reflexions-System MRS18a

für Buntton *h* = lab*h = 25/360 = 0.071*
*lab*tch* und *lab*nch*

D65: Buntton R
LCH*Ma: 48 73 25
rgb*Ma: 1.0 0.0 0.1

Dreiecks-Helligkeit *t**

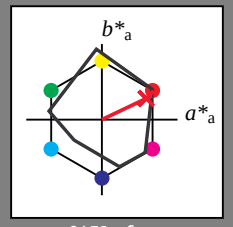

%Umfang

u*$_{rel}$ = 92

MRS18a; adaptierte CIELAB-Daten

	$L^*=L^*_a$	a^*_a	b^*_a	$C^*_{ab,a}$	$h^*_{ab,a}$
R_{Ma}	49.63	66.8	40.02	77.87	31
J_{Ma}	90.7	−7.27	93.19	93.48	94
G_{Ma}	52.11	−69.93	11.26	70.85	171
$G50B_{Ma}$	45.03	−36.65	−27.13	45.61	217
B_{Ma}	36.65	23.26	−62.27	66.49	290
$B50R_{Ma}$	34.94	57.27	−43.6	71.99	323
N_{Ma}	18.01	0.0	0.0	0.0	0
W_{Ma}	95.41	0.0	0.0	0.0	0
R_{CIE}	39.92	58.67	27.97	64.99	25
J_{CIE}	81.26	−2.91	71.56	71.62	92
G_{CIE}	52.23	−42.47	13.58	44.6	162
B_{CIE}	30.57	1.33	−46.48	46.51	272

%Regularität

g*$_{H,rel}$ = 42

g*$_{C,rel}$ = 49

Ausgabe: Farbmetrisches Reflexions-System ORS18

für Buntton *h* = lab*h = 25/360 = 0.069*
*lab*tch* und *lab*nch*

D65: Buntton R
LCH*Ma: 48 75 25
rgb*Ma: 1.0 0.0 0.32

Dreiecks-Helligkeit *t**

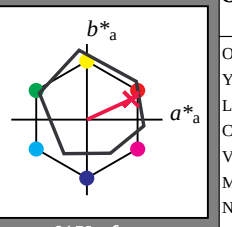

%Umfang

u*$_{rel}$ = 93

ORS18; adaptierte CIELAB-Daten

	$L^*=L^*_a$	a^*_a	b^*_a	$C^*_{ab,a}$	$h^*_{ab,a}$
O_{Ma}	47.94	65.37	50.52	82.62	38
Y_{Ma}	90.37	−10.27	91.77	92.34	96
L_{Ma}	50.9	−62.79	34.95	71.87	151
C_{Ma}	58.62	−30.35	−45.01	54.3	236
V_{Ma}	25.71	31.11	−44.42	54.24	305
M_{Ma}	48.13	75.27	−8.35	75.73	354
N_{Ma}	18.01	0.0	0.0	0.0	0
W_{Ma}	95.41	0.0	0.0	0.0	0
R_{CIE}	39.92	58.66	26.98	64.56	25
J_{CIE}	81.26	−2.17	67.76	67.79	92
G_{CIE}	52.23	−42.26	11.75	43.87	164
B_{CIE}	30.57	1.15	−46.84	46.87	271

%Regularität

g*$_{H,rel}$ = 57

g*$_{C,rel}$ = 59

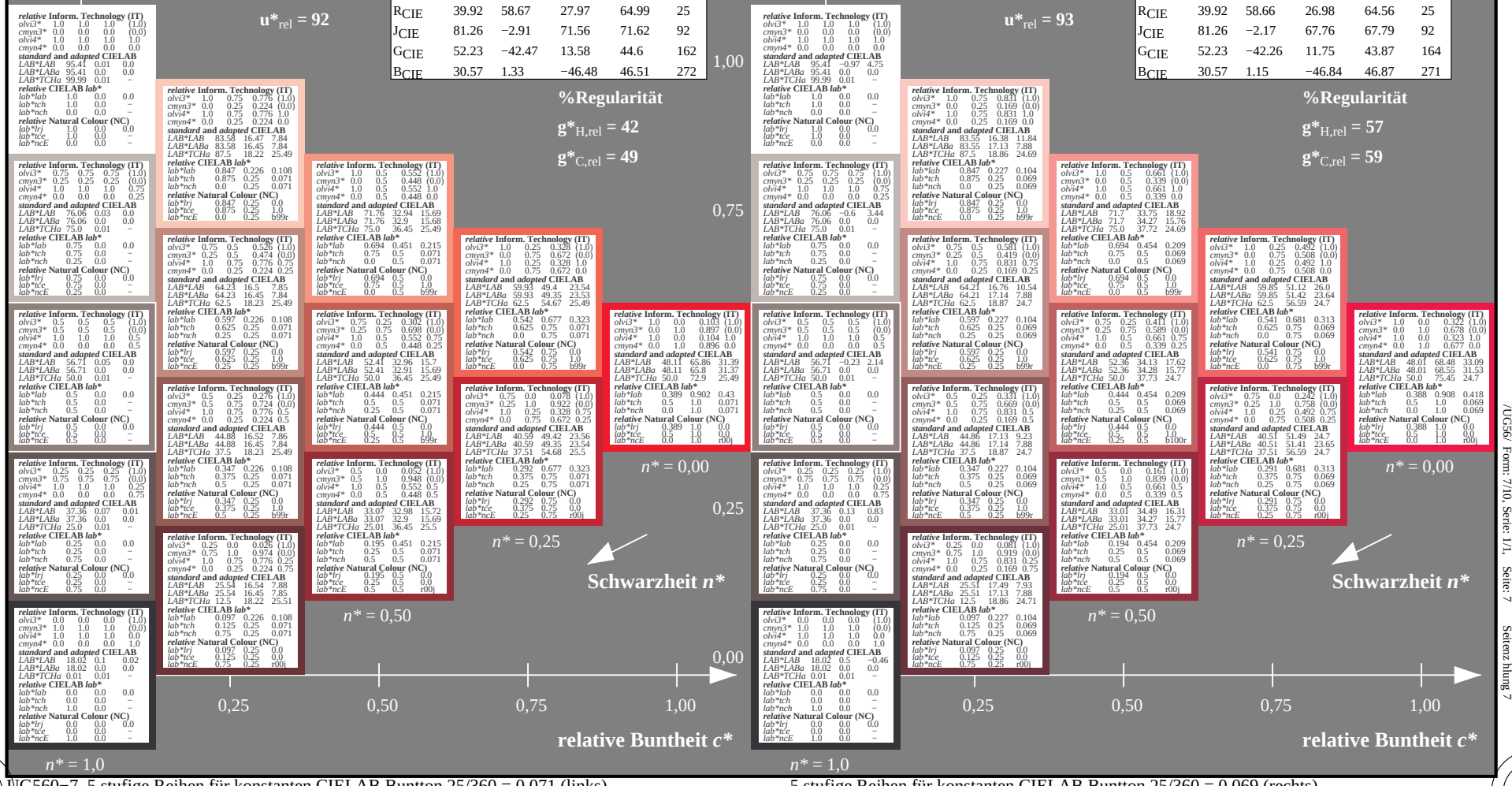

UG560−7, 5 stufige Reihen für konstanten CIELAB Buntton 25/360 = 0.071 (links)

5 stufige Reihen für konstanten CIELAB Buntton 25/360 = 0.069 (rechts)

Eingabe: Farbmetrisches Reflexions-System MRS18a

für Buntton *h* = lab*h = 92/360 = 0.256*
*lab*tch* und *lab*nch*

D65: Buntton J
LCH*Ma: 89 91 92
rgb*Ma: 1.0 0.95 0.0

Dreiecks-Helligkeit *t**

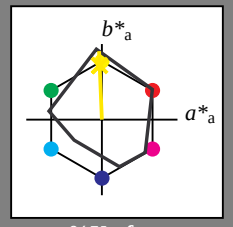

%Umfang

u*rel = 92

%Regularität

g*H,rel = 42

g*C,rel = 49

MRS18a; adaptierte CIELAB-Daten

	L*=L*a	a*a	b*a	C*ab,a	h*ab,a
RMa	49.63	66.8	40.02	77.87	31
JMa	90.7	−7.27	93.19	93.48	94
GMa	52.11	−69.93	11.26	70.85	171
G50BMa	45.03	−36.65	−27.13	45.61	217
BMa	36.65	23.26	−62.27	66.49	290
B50RMa	34.94	57.27	−43.6	71.99	323
NMa	18.01	0.0	0.0	0.0	0
WMa	95.41	0.0	0.0	0.0	0
RCIE	39.92	58.67	27.97	64.99	25
JCIE	81.26	−2.91	71.56	71.62	92
GCIE	52.23	−42.47	13.58	44.6	162
BCIE	30.57	1.33	−46.48	46.51	272

1,00
0,75
0,25
0,00
n* = 0,00
n* = 0,25
n* = 0,50
n* = 1,0
Schwarzheit *n**
0,25
0,50
0,75
1,00
relative Buntheit *c**

Ausgabe: Farbmetrisches Reflexions-System ORS18

für Buntton *h* = lab*h = 92/360 = 0.255*
*lab*tch* und *lab*nch*

D65: Buntton J
LCH*Ma: 86 88 92
rgb*Ma: 1.0 0.9 0.0

Dreiecks-Helligkeit *t**

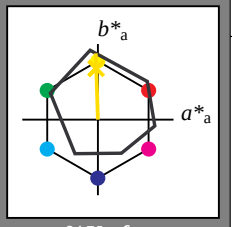

%Umfang

u*rel = 93

%Regularität

g*H,rel = 57

g*C,rel = 59

ORS18; adaptierte CIELAB-Daten

	L*=L*a	a*a	b*a	C*ab,a	h*ab,a
OMa	47.94	65.37	50.52	82.62	38
YMa	90.37	−10.27	91.77	92.34	96
LMa	50.9	−62.79	34.95	71.87	151
CMa	58.62	−30.35	−45.01	54.3	236
VMa	25.71	31.11	−44.42	54.24	305
MMa	48.13	75.27	−8.35	75.73	354
NMa	18.01	0.0	0.0	0.0	0
WMa	95.41	0.0	0.0	0.0	0
RCIE	39.92	58.66	26.98	64.56	25
JCIE	81.26	−2.17	67.76	67.79	92
GCIE	52.23	−42.26	11.75	43.87	164
BCIE	30.57	1.15	−46.84	46.87	271

1,00
0,75
0,25
0,00
n* = 0,00
n* = 0,25
n* = 0,50
n* = 1,0
Schwarzheit *n**
0,25
0,50
0,75
1,00
relative Buntheit *c**

UG560−7, 5 stufige Reihen für konstanten CIELAB Buntton 92/360 = 0.256 (links)

5 stufige Reihen für konstanten CIELAB Buntton 92/360 = 0.255 (rechts)

BAM-Prüfvorlage UG56; Farbmetrik-Systeme ORS18 & ORS18
D65: 2 Koordinaten-Daten von 5stufigen Farbreihen für 10 Buntt**one**

input: *cmy0* setcmykcolor*
output: *Startup (S) data dependend*

Eingabe: Farbmetrisches Reflexions-System MRS18a

für Buntton *h* = lab*h = 162/360 = 0.451*
*lab*tch* und *lab*nch*

D65: Buntton G
LCH*Ma: 56 66 162
rgb*Ma: 0.11 1.0 0.0

Dreiecks-Helligkeit *t**

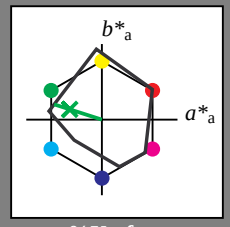

%Umfang

u*rel = 92

MRS18a; adaptierte CIELAB-Daten

	L*=L*a	a*a	b*a	C*ab,a	h*ab,a
RMa	49.63	66.8	40.02	77.87	31
JMa	90.7	−7.27	93.19	93.48	94
GMa	52.11	−69.93	11.26	70.85	171
G50BMa	45.03	−36.65	−27.13	45.61	217
BMa	36.65	23.26	−62.27	66.49	290
B50RMa	34.94	57.27	−43.6	71.99	323
NMa	18.01	0.0	0.0	0.0	0
WMa	95.41	0.0	0.0	0.0	0
RCIE	39.92	58.67	27.97	64.99	25
JCIE	81.26	−2.91	71.56	71.62	92
GCIE	52.23	−42.47	13.58	44.6	162
BCIE	30.57	1.33	−46.48	46.51	272

1,00

%Regularität

g*H,rel = 42

g*C,rel = 49

0,75

0,25

0,00

n* = 0,00

n* = 0,25

n* = 0,50

n* = 1,0

Schwarzheit *n**

0,25 0,50 0,75 1,00

relative Buntheit *c**

Ausgabe: Farbmetrisches Reflexions-System ORS18

für Buntton *h* = lab*h = 164/360 = 0.457*
*lab*tch* und *lab*nch*

D65: Buntton G
LCH*Ma: 53 57 164
rgb*Ma: 0.0 1.0 0.25

Dreiecks-Helligkeit *t**

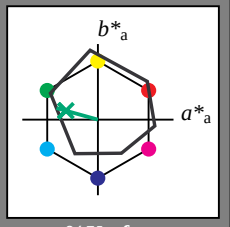

%Umfang

u*rel = 93

ORS18; adaptierte CIELAB-Daten

	L*=L*a	a*a	b*a	C*ab,a	h*ab,a
OMa	47.94	65.37	50.52	82.62	38
YMa	90.37	−10.27	91.77	92.34	96
LMa	50.9	−62.79	34.95	71.87	151
CMa	58.62	−30.35	−45.01	54.3	236
VMa	25.71	31.11	−44.42	54.24	305
MMa	48.13	75.27	−8.35	75.73	354
NMa	18.01	0.0	0.0	0.0	0
WMa	95.41	0.0	0.0	0.0	0
RCIE	39.92	58.66	26.98	64.56	25
JCIE	81.26	−2.17	67.76	67.79	92
GCIE	52.23	−42.26	11.75	43.87	164
BCIE	30.57	1.15	−46.84	46.87	271

%Regularität

g*H,rel = 57

g*C,rel = 59

n* = 0,00

n* = 0,25

n* = 0,50

n* = 1,0

Schwarzheit *n**

0,25 0,50 0,75 1,00

relative Buntheit *c**

UG560−7, 5 stufige Reihen für konstanten CIELAB Buntton 162/360 = 0.451 (links)

5 stufige Reihen für konstanten CIELAB Buntton 164/360 = 0.457 (rechts)

BAM-Prüfvorlage UG56; Farbmetrik-Systeme ORS18 & ORS18
D65: 2 Koordinaten-Daten von 5stufigen Farbreihen für 10 Buntt**one**

input: *cmy0* setcmykcolor*
output: *Startup (S) data dependend*

Eingabe: Farbmetrisches Reflexions-System MRS18a

für Buntton *h* = lab*h = 272/360 = 0.755*
*lab*tch* und *lab*nch*

D65: Buntton B
LCH*Ma: 40 49 272
rgb*Ma: 0.0 0.36 1.0

Dreiecks-Helligkeit *t**

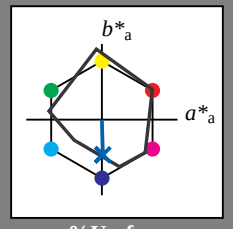

%Umfang

u*$_{rel}$ = 92

MRS18a; adaptierte CIELAB-Daten

	L*=L*$_a$	a*$_a$	b*$_a$	C*$_{ab,a}$	h*$_{ab,a}$
R_{Ma}	49.63	66.8	40.02	77.87	31
J_{Ma}	90.7	−7.27	93.19	93.48	94
G_{Ma}	52.11	−69.93	11.26	70.85	171
$G50B_{Ma}$	45.03	−36.65	−27.13	45.61	217
B_{Ma}	36.65	23.26	−62.27	66.49	290
$B50R_{Ma}$	34.94	57.27	−43.6	71.99	323
N_{Ma}	18.01	0.0	0.0	0.0	0
W_{Ma}	95.41	0.0	0.0	0.0	0
R_{CIE}	39.92	58.67	27.97	64.99	25
J_{CIE}	81.26	−2.91	71.56	71.62	92
G_{CIE}	52.23	−42.47	13.58	44.6	162
B_{CIE}	30.57	1.33	−46.48	46.51	272

1,00

%Regularität

g*$_{H,rel}$ = 42

g*$_{C,rel}$ = 49

0,75

0,25

0,00

0,25 0,50 0,75 1,00

relative Buntheit *c**

Schwarzheit *n**

*n** = 0,00 *n** = 0,25 *n** = 0,50 *n** = 1,0

Ausgabe: Farbmetrisches Reflexions-System ORS18

für Buntton *h* = lab*h = 271/360 = 0.754*
*lab*tch* und *lab*nch*

D65: Buntton B
LCH*Ma: 42 45 271
rgb*Ma: 0.0 0.49 1.0

Dreiecks-Helligkeit *t**

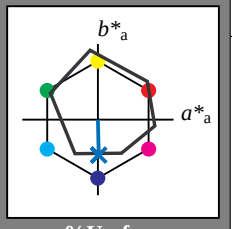

%Umfang

u*$_{rel}$ = 93

ORS18; adaptierte CIELAB-Daten

	L*=L*$_a$	a*$_a$	b*$_a$	C*$_{ab,a}$	h*$_{ab,a}$
O_{Ma}	47.94	65.37	50.52	82.62	38
Y_{Ma}	90.37	−10.27	91.77	92.34	96
L_{Ma}	50.9	−62.79	34.95	71.87	151
C_{Ma}	58.62	−30.35	−45.01	54.3	236
V_{Ma}	25.71	31.11	−44.42	54.24	305
M_{Ma}	48.13	75.27	−8.35	75.73	354
N_{Ma}	18.01	0.0	0.0	0.0	0
W_{Ma}	95.41	0.0	0.0	0.0	0
R_{CIE}	39.92	58.66	26.98	64.56	25
J_{CIE}	81.26	−2.17	67.76	67.79	92
G_{CIE}	52.23	−42.26	11.75	43.87	164
B_{CIE}	30.57	1.15	−46.84	46.87	271

%Regularität

g*$_{H,rel}$ = 57

g*$_{C,rel}$ = 59

UG560−7, 5 stufige Reihen für konstanten CIELAB Buntton 272/360 = 0.755 (links)

5 stufige Reihen für konstanten CIELAB Buntton 271/360 = 0.754 (rechts)

BAM-Prüfvorlage UG56; Farbmetrik-Systeme ORS18 & ORS18 input: *cmy0* setcmykcolor*
D65: 2 Koordinaten-Daten von 5stufigen Farbreihen für 10 Buntt**öne** output: *Startup (S) data dependend*